

Abb. 1c

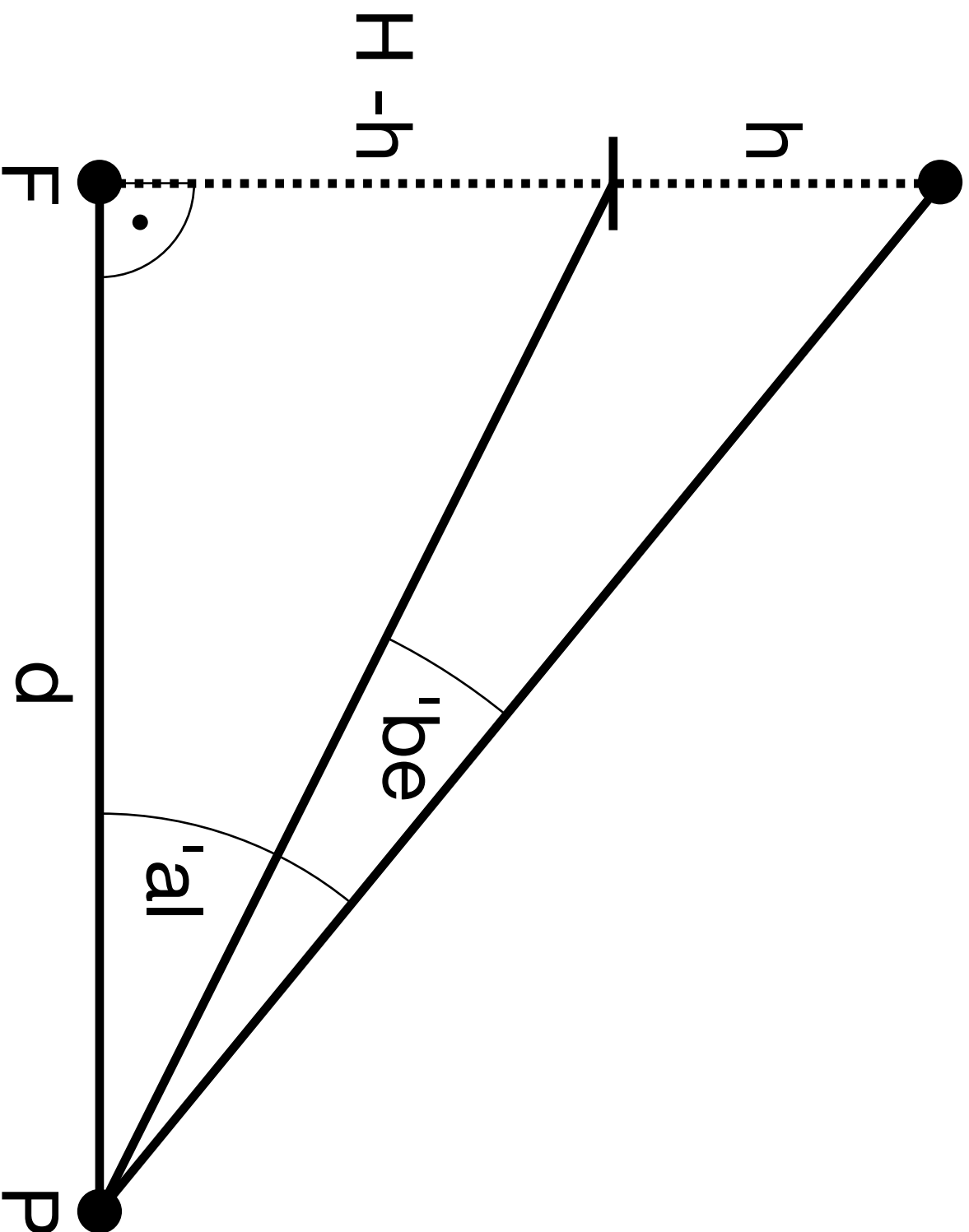


Abb. 2a

x ... Zeit seit Beginn des Beutestoßes in s

y ... Geschwindigkeit in m/s

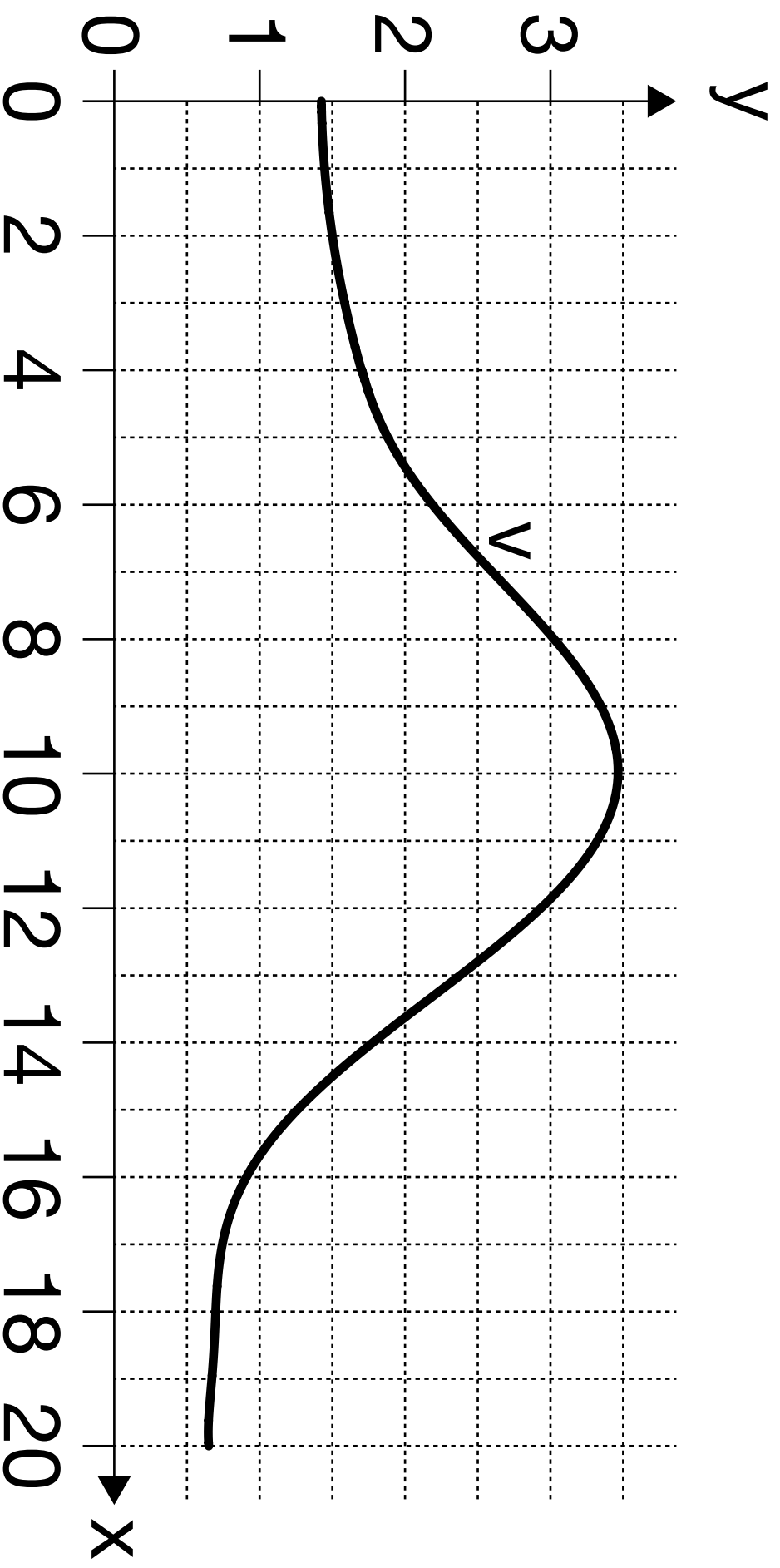


Abb. 2c_1

x ... t in s

y ... w(t) in m³

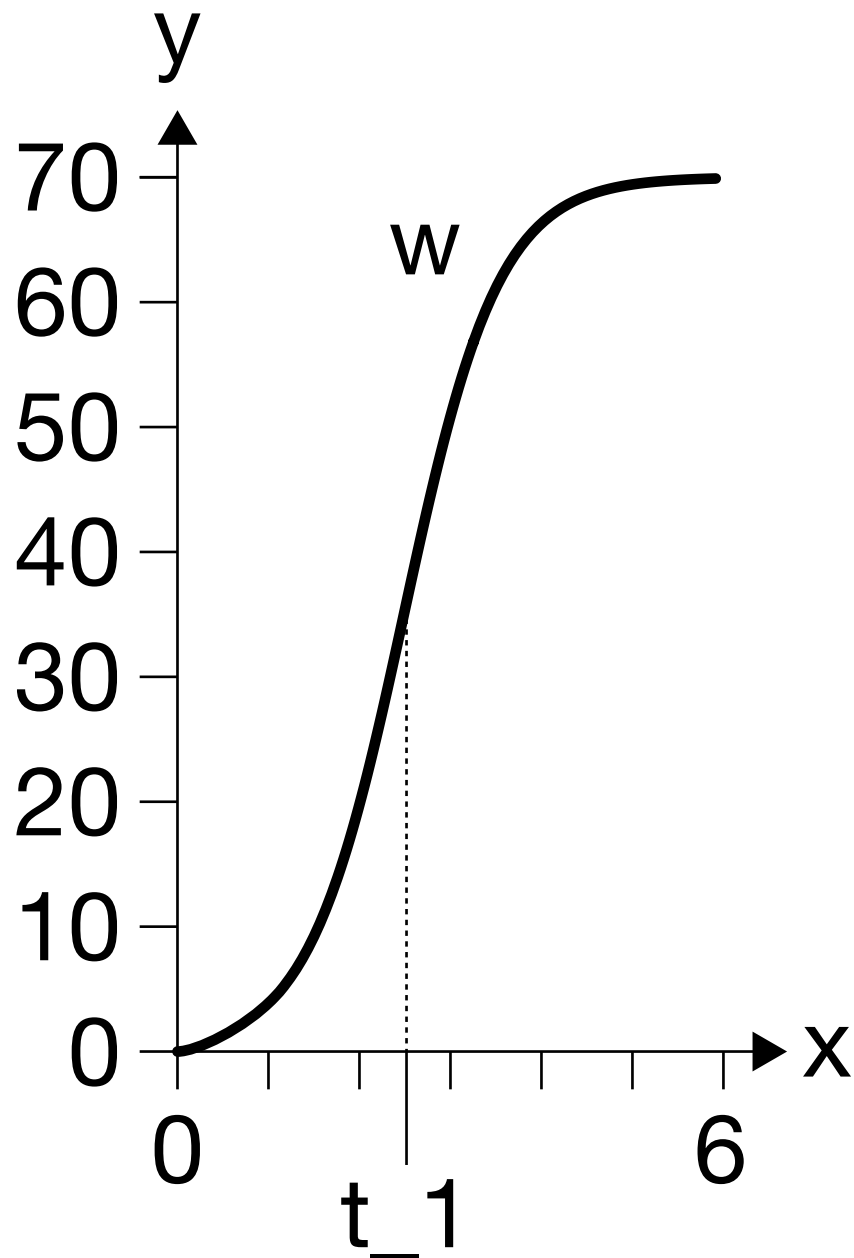


Abb. 2c_2 bis 2c_6

x ... t in s

y ... $w'(t)$ in $m^{3/s}$

Abb. 2c_2

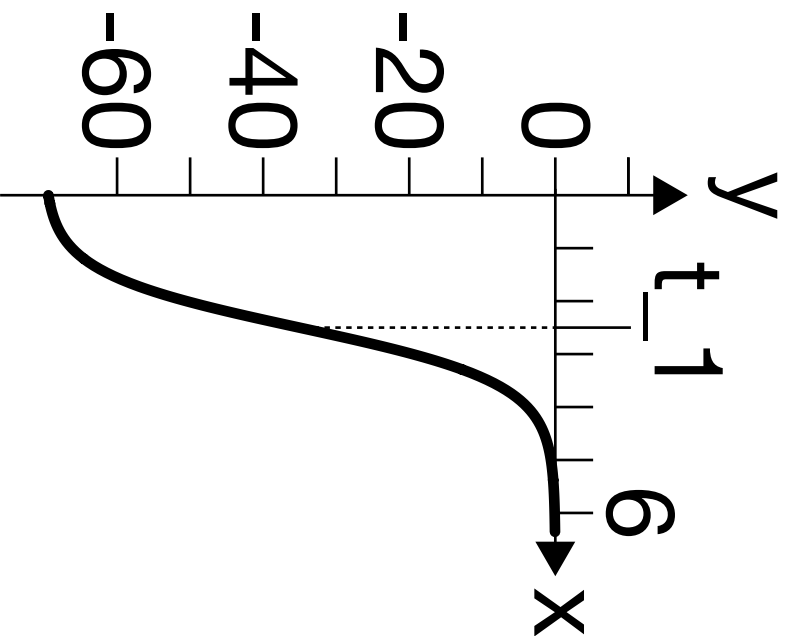


Abb. 2c_3

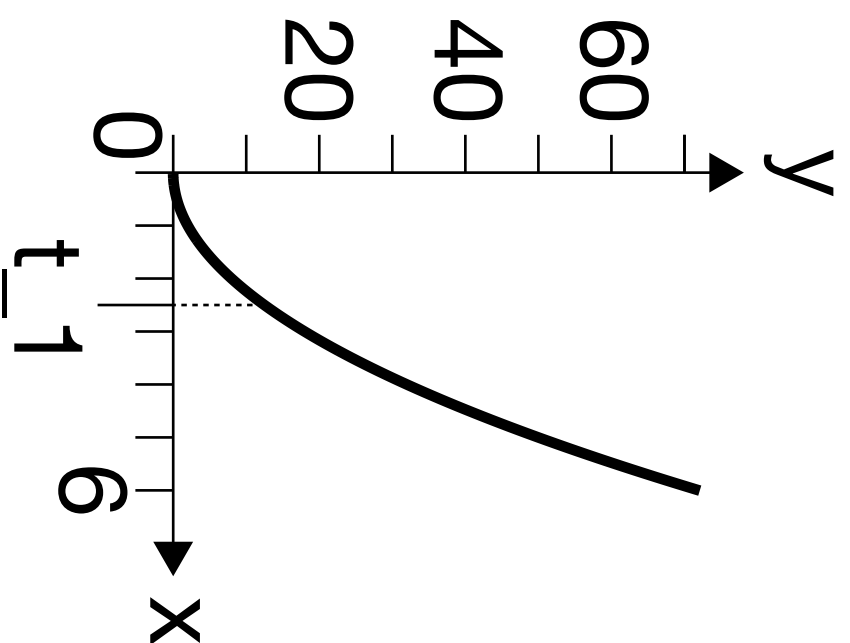
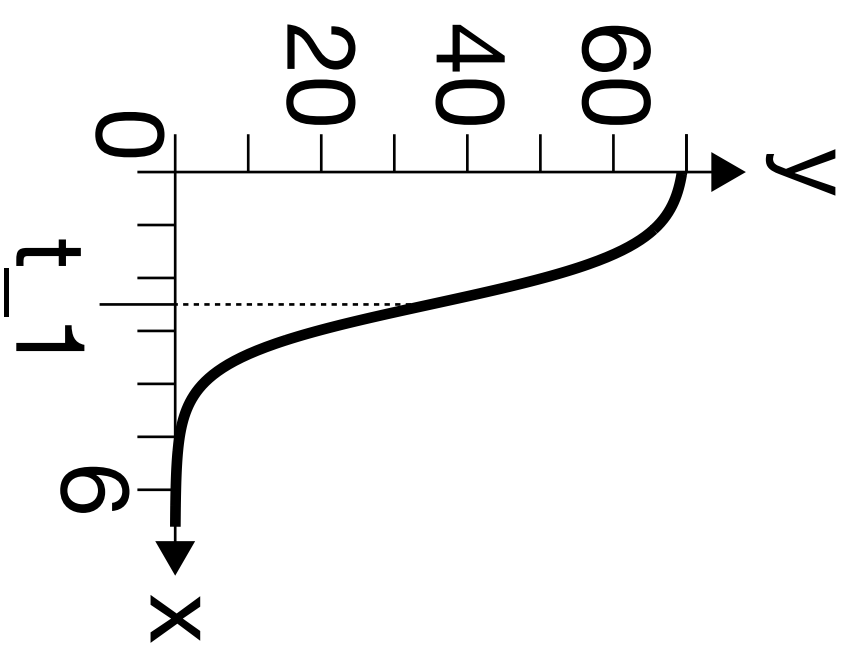


Abb. 2c_4



x ... t in s
y ... $w'(t)$ in $m^{3/s}$

Abb. 2c_5

Abb. 2c_6

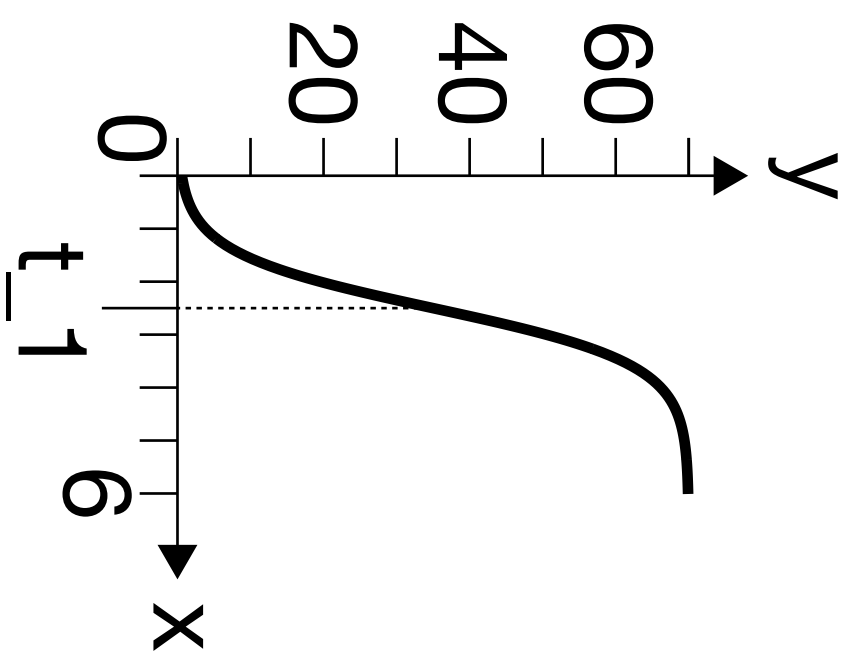
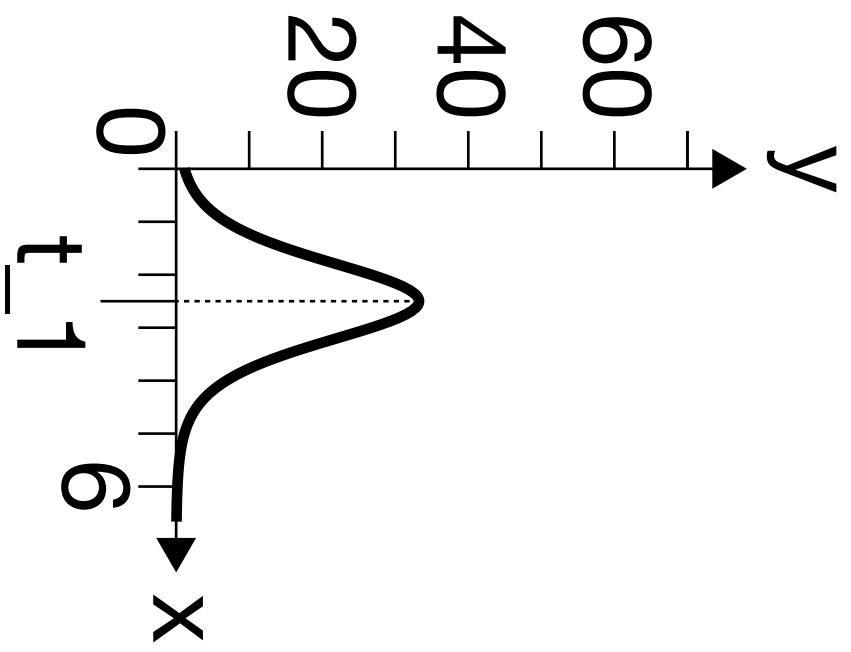


Abb. 3c

x ... Kochzeit für hart gekochte Eier in min

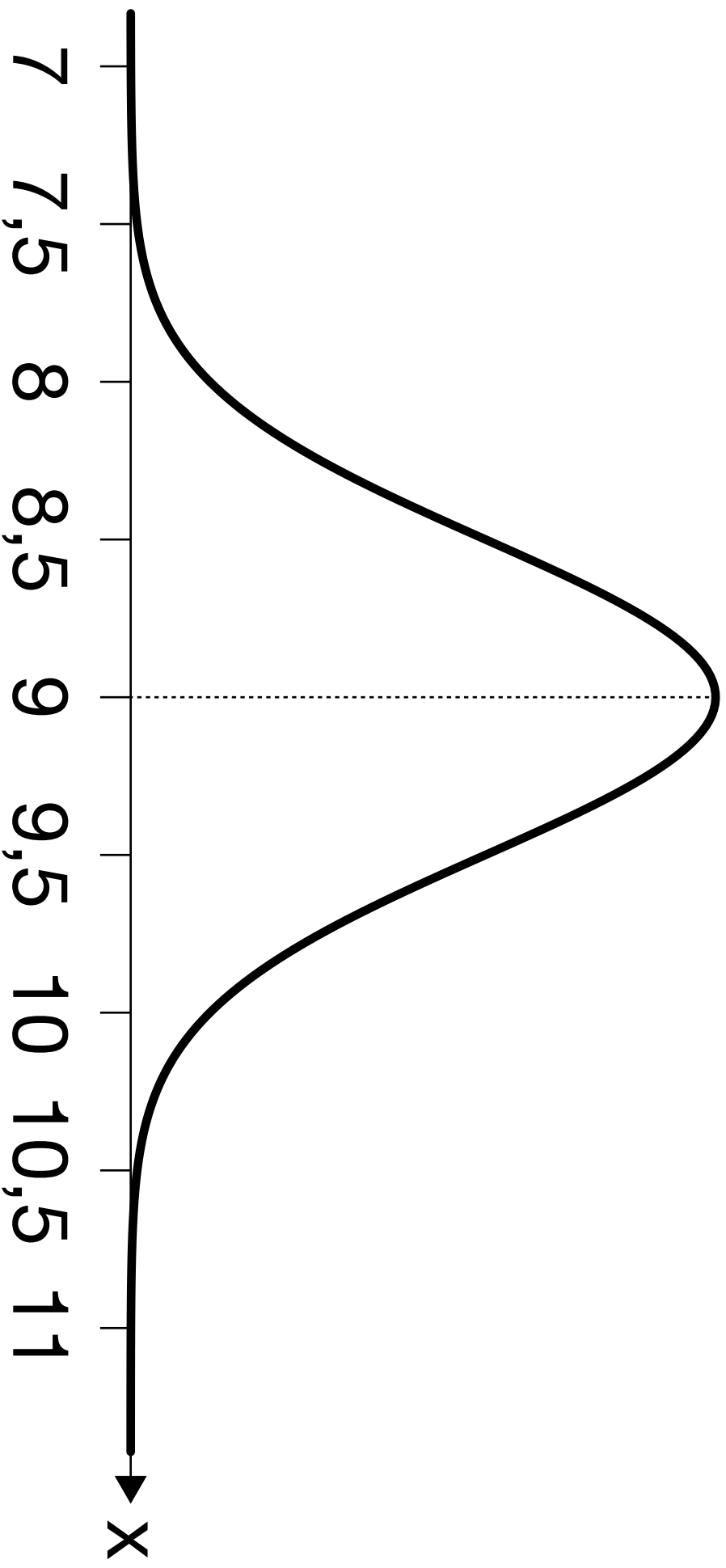


Abb. 4a

y ... Höhenunterschied zur Talstation

x ... horizontale Entfernung von der Talstation

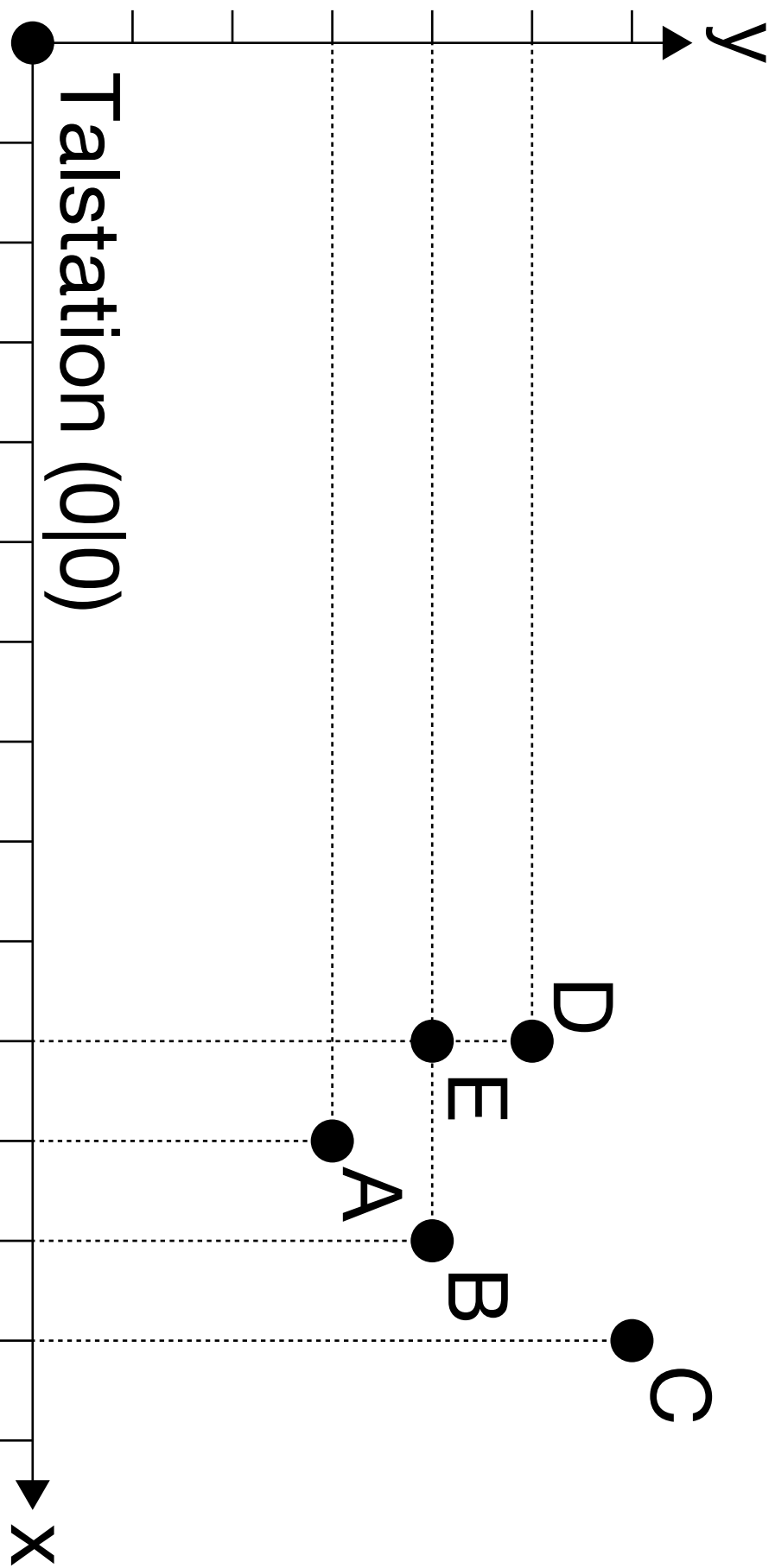


Abb. 4b

$x \dots x$ in m

$y \dots y$ in m

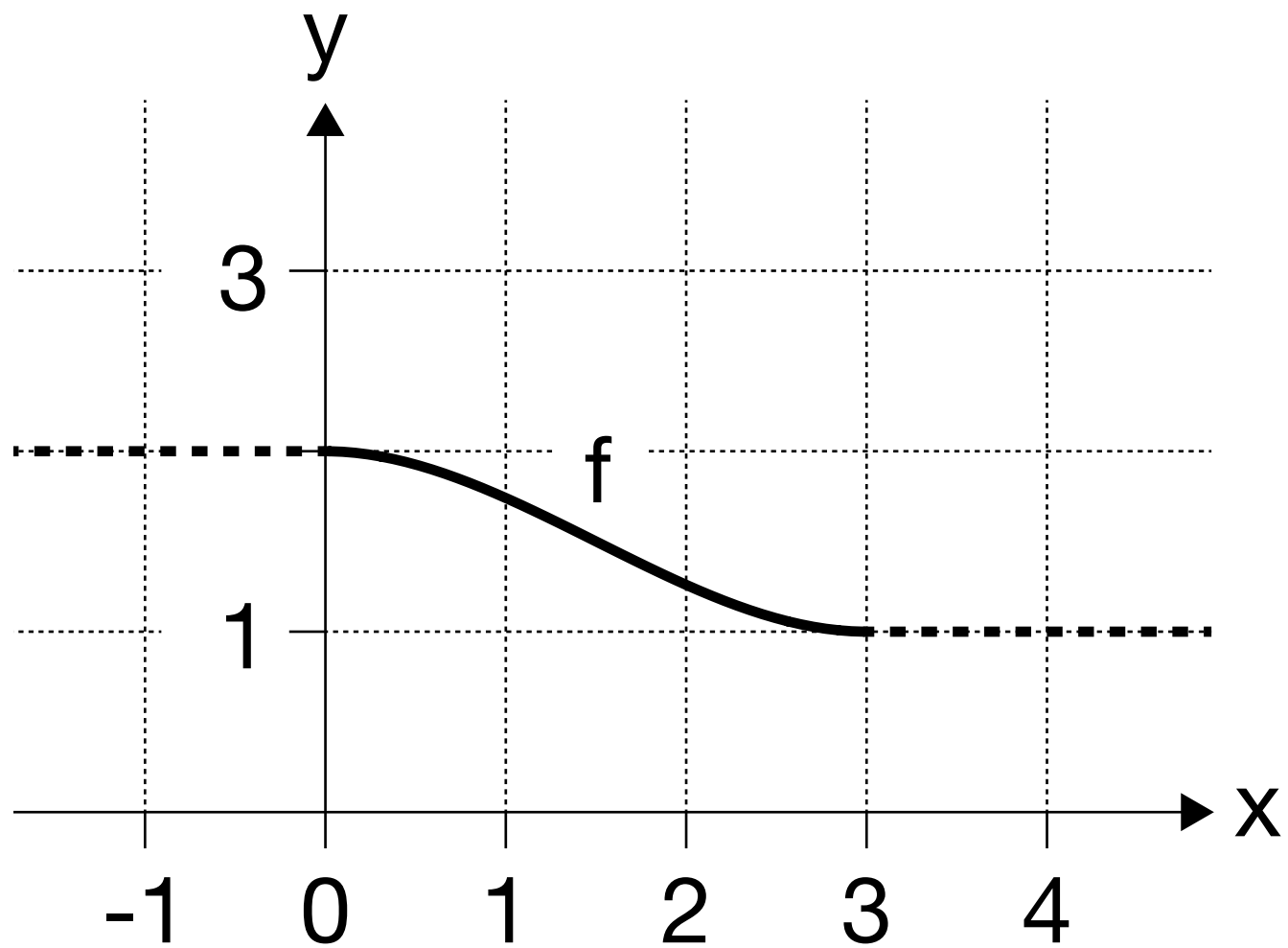


Abb. 6a

$x \dots x$ in cm

$y \dots y$ in cm

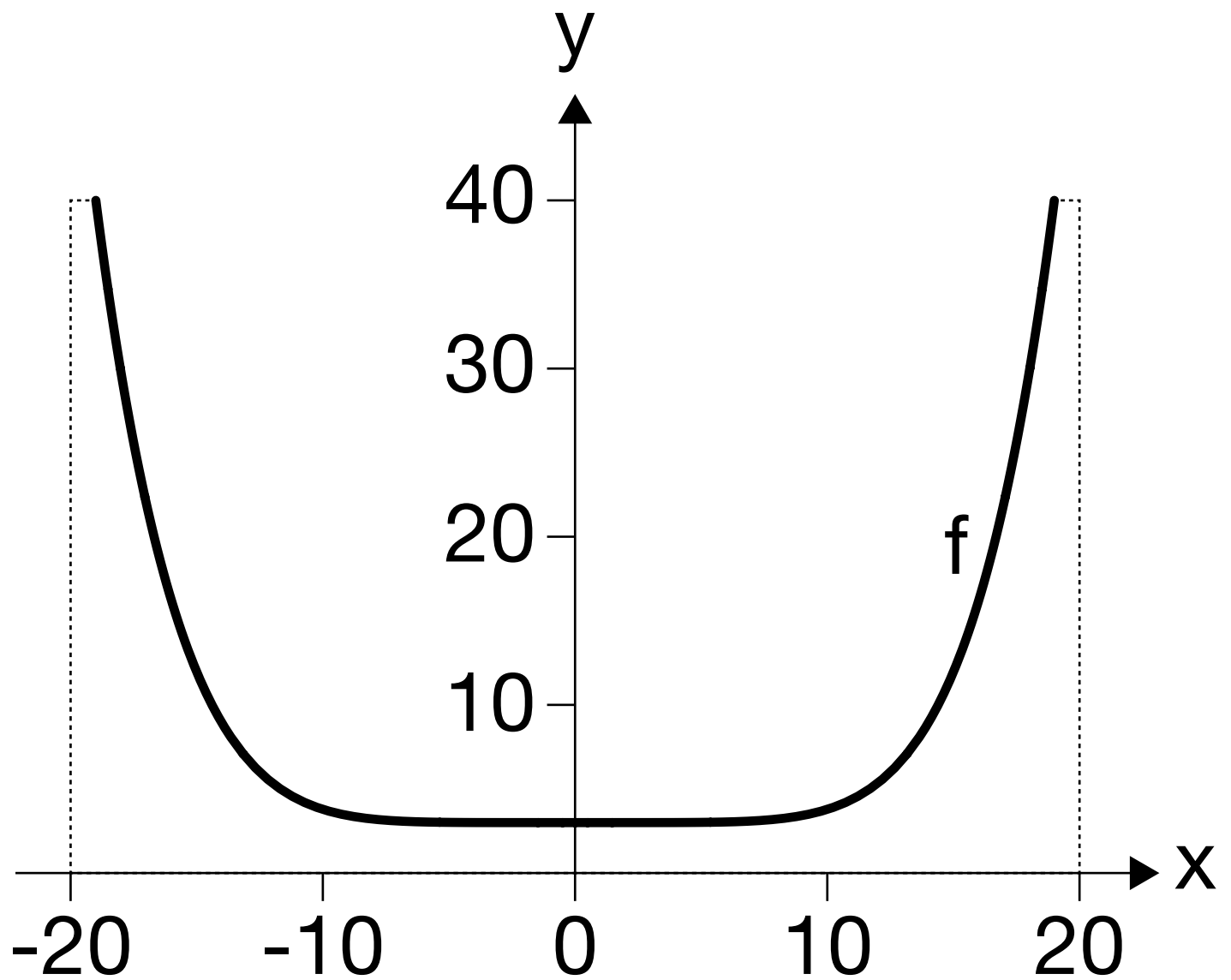


Abb. 6b

x ... Länge der Stangen in cm
y ... Wahrscheinlichkeit

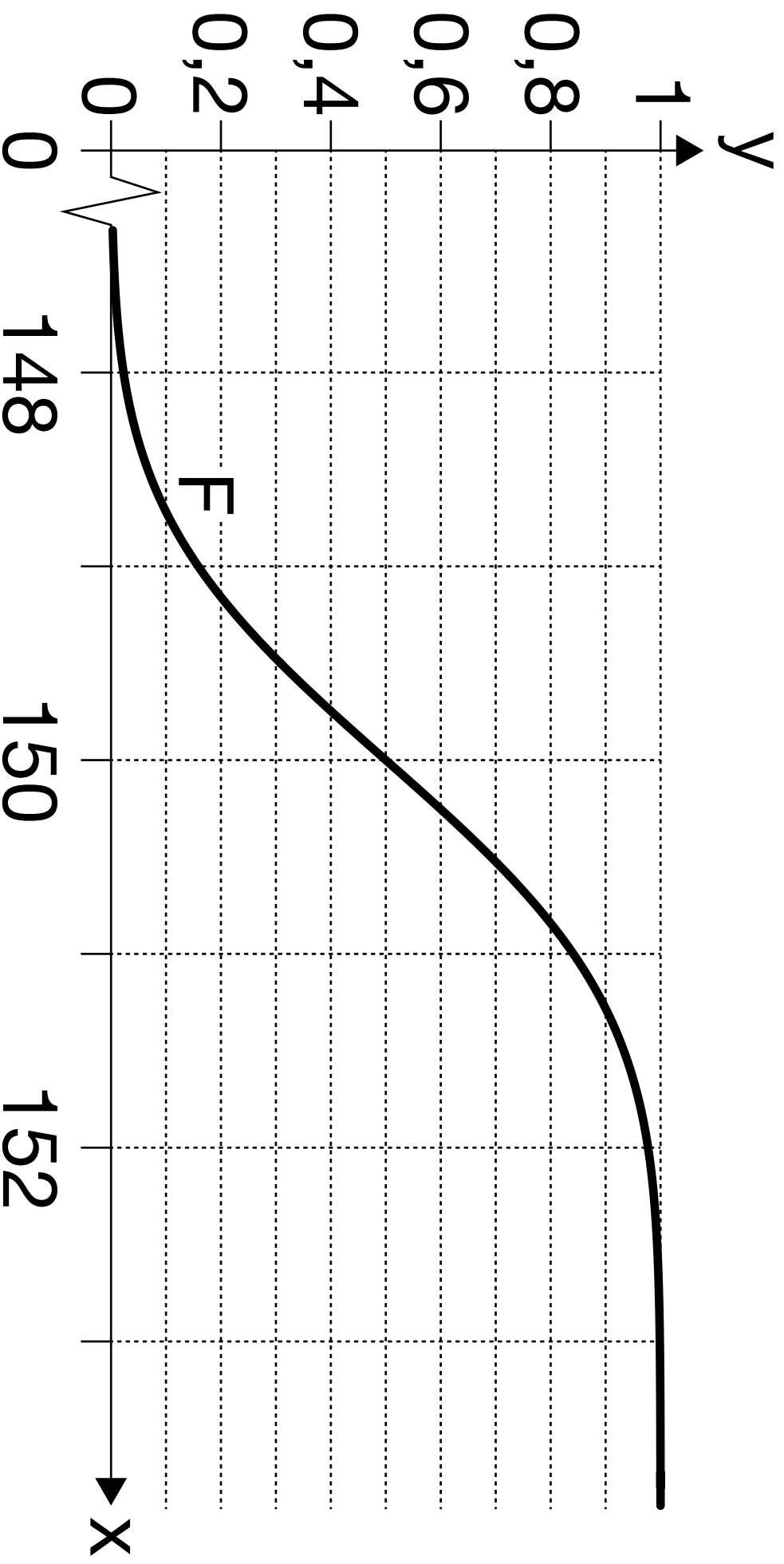


Abb. 7a

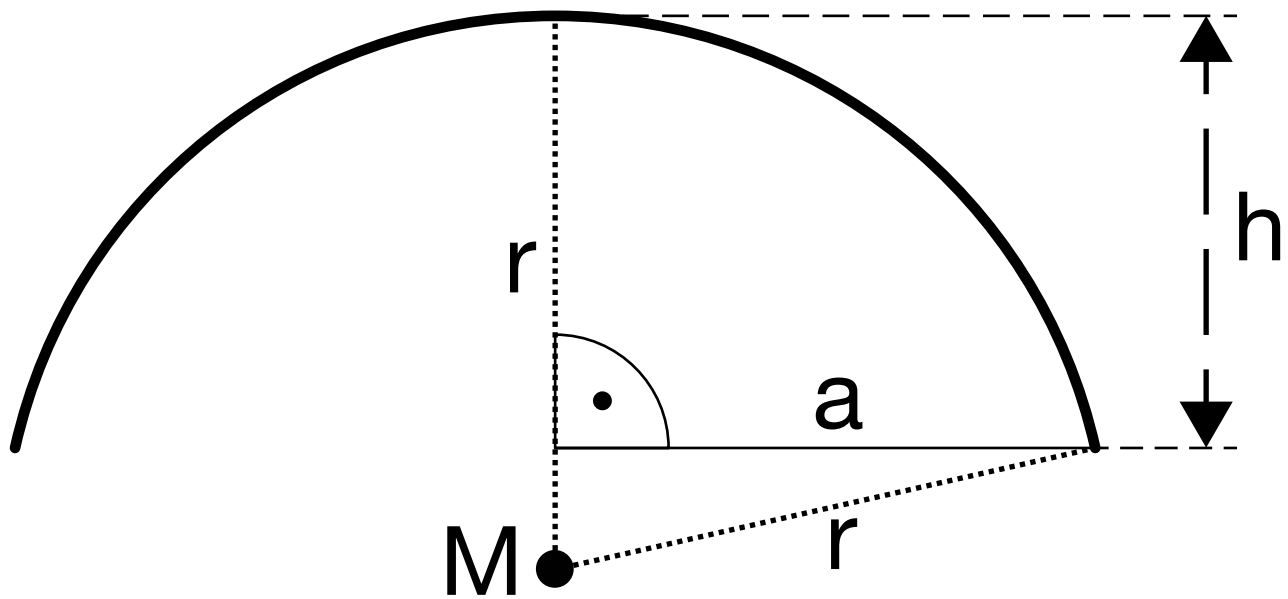


Abb. 7b

$x \dots x$ in m

$y \dots f(x), g(x)$ in m

— ... g

- - - ... f

- - - ... Strecke PQ

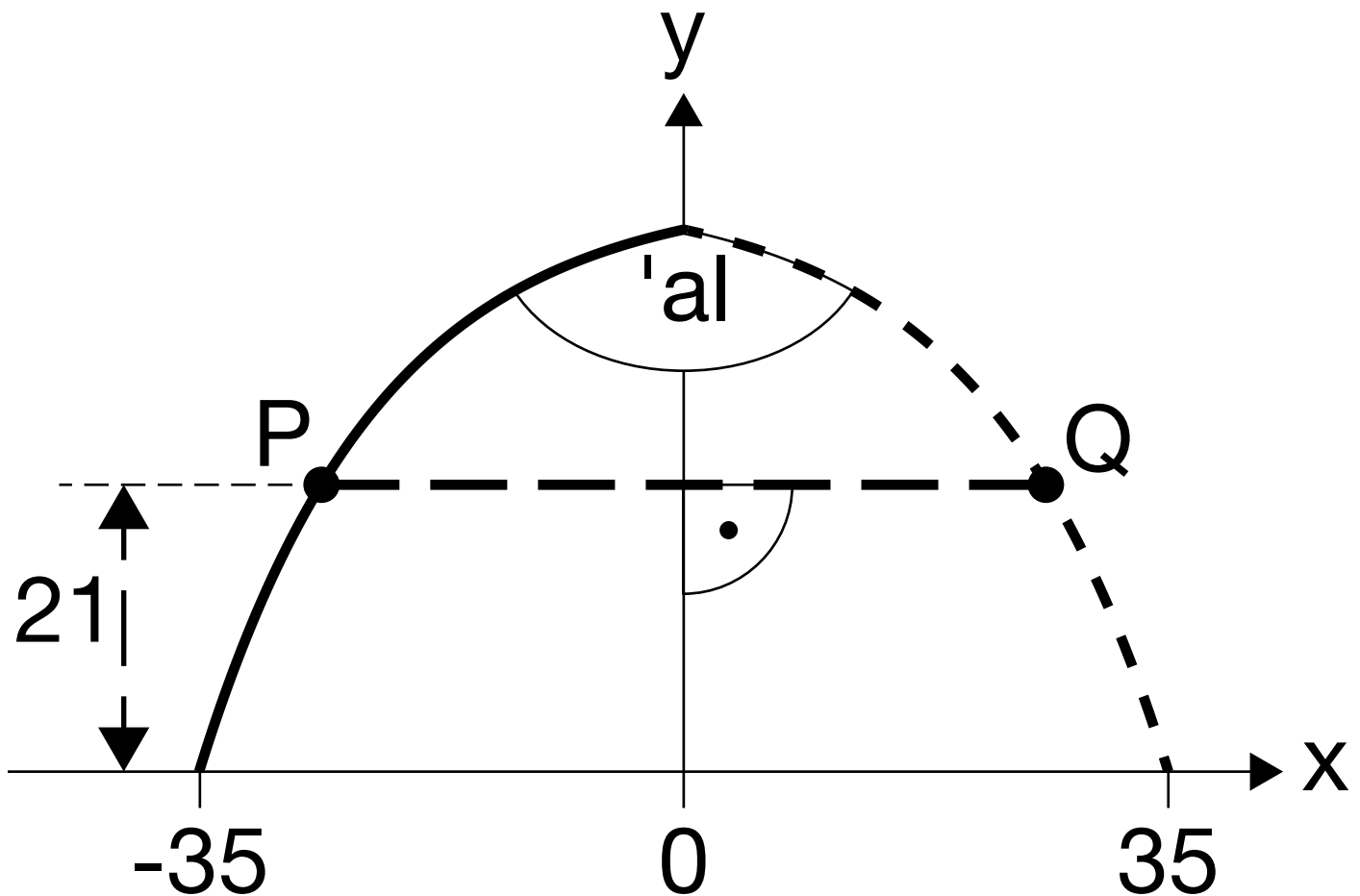


Abb. 7c

$x \dots x$ in m

$y \dots y$ in m

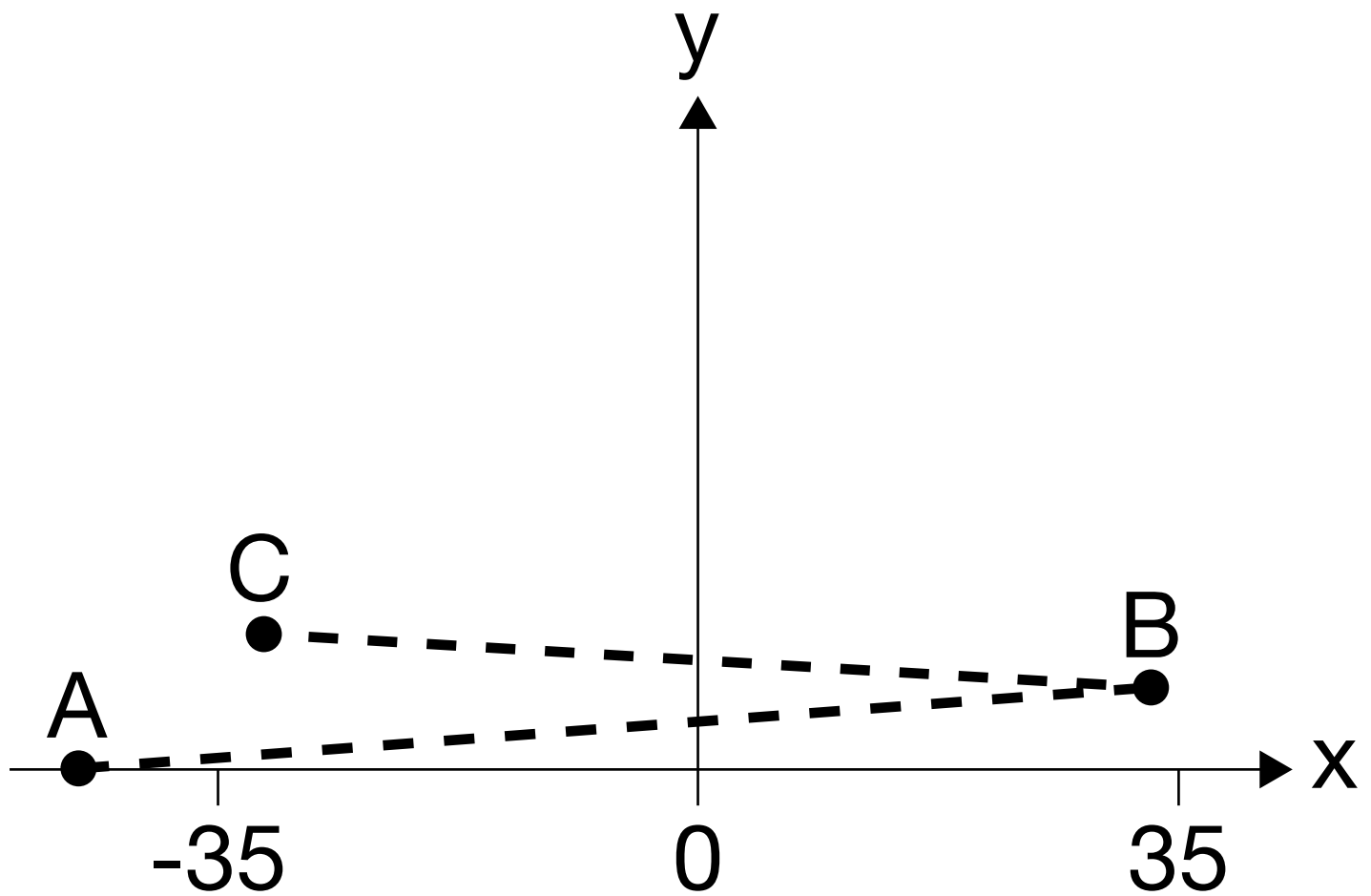


Abb. 7d

x ... Sendefrequenz in Hz

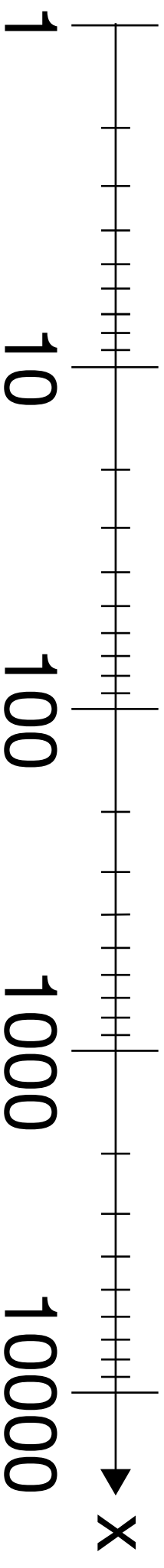


Abb. 8a_1

$x \dots x$ in m

$y \dots T_F(x), T_W(x)$ in $^{\circ}C$

Abb. 8a_2

